

СООБЩЕНИЯ  
ОБЪЕДИНЕННОГО  
ИНСТИТУТА  
ЯДЕРНЫХ  
ИССЛЕДОВАНИЙ  
ДУБНА

13-85-844

В.П.Саванеев

ТРАНЗИСТОРНЫЙ  
КОМПЕНСАЦИОННЫЙ СТАБИЛИЗАТОР  
НА ТОК 600 А

1985





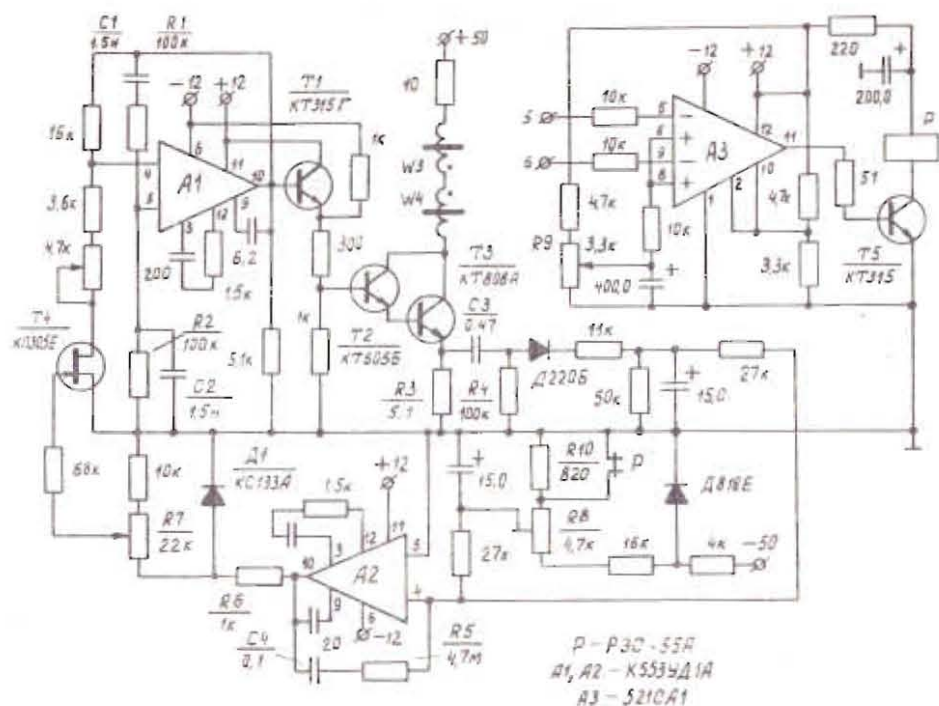


Рис.3. Принципиальная схема источника возбуждения ИППТ.

поступает с выхода фильтра и источника задающего напряжения, выполненного на стабилитроне Д 818Е. Напряжение с выхода регулятора А2 подается на затвор полевого транзистора Т4, устанавливая его рабочую точку таким образом, чтобы сумма средних значений входных напряжений - регулятора А2, задающего напряжения и напряжения с фильтра равнялась нулю. Постоянная времени пропорционально-интегрирующего регулятора /R5, C4/ выбрана достаточно большой по сравнению с периодом колебания, поэтому коэффициент усиления не меняется в течение периода колебания и не искажает выходной сигнал.

Для обеспечения возможности устойчивой работы источника возбуждения в стационарном и переходных режимах [2], на выходе А2 установлен ограничитель напряжения на R6 и Д1. Точная подстройка пределов изменения напряжения на затворе полевого транзистора Т4 осуществляется потенциометром R7. Исходный уровень тока возбуждения /I<sub>ч1</sub> = 0,5 А/ магнитного модулятора устанавливается потенциометром R8.

Изменение тока возбуждения магнитного модулятора в переходных режимах осуществляется схемой управления током возбуждения, выполненной на двойном компараторе А3 и транзисторе Т5.

На входные зажимы 5 и 6 двойного компаратора А3 напряжение поступает с выходного фильтра нижних частот канала слежения /см.рис.2/. Порог сравнения задается потенциометром R9. Исполнительным элементом служит реле Р, включенное в коллекторную цепь транзисторного ключа Т5. Нормально-замкнутые контакты реле подключены параллельно резистору R10 выходного делителя источника задающего напряжения.

При выходе из стационарного режима работы стабилизатора постоянного тока напряжение на клеммах 5 и 6 выходного фильтра канала слежения уменьшается, что вызывает переключение компаратора А3, контакты реле Р размыкаются, и задающее напряжение на входе операционного усилителя А2 увеличивается.

Значение тока возбуждения магнитного модулятора возрастает до -2А.

#### СХЕМА СРАВНЕНИЯ И УСИЛИТЕЛЬ НАПЯЖЕНИЯ

Принципиальная схема усилителя напряжения /УН/ и схемы сравнения /СС/ стабилизатора постоянного тока изображена на рис.4.

Сигнал опорного напряжения с блока ИОН, либо с ЦАПЭВМ, поступает на клемму 8 повторителя напряжения, выполненного на микросхеме А6. Источник опорного напряжения /ИОН/ представляет собой двухкаскадный параметрический стабилизатор со стабилитроном Д 818Е в выходном каскаде. Опорный стабилитрон, выходной делитель напряжения и многооборотный потенциометр установлены в термостате.

Выход повторителя напряжения подключен к схеме сравнения сигналов /СС/, выполненной на дифференциальном усилителе А7. На клемму 9 с эталонного резистора R<sub>ЭТ</sub> ИППТ поступает напряжение,

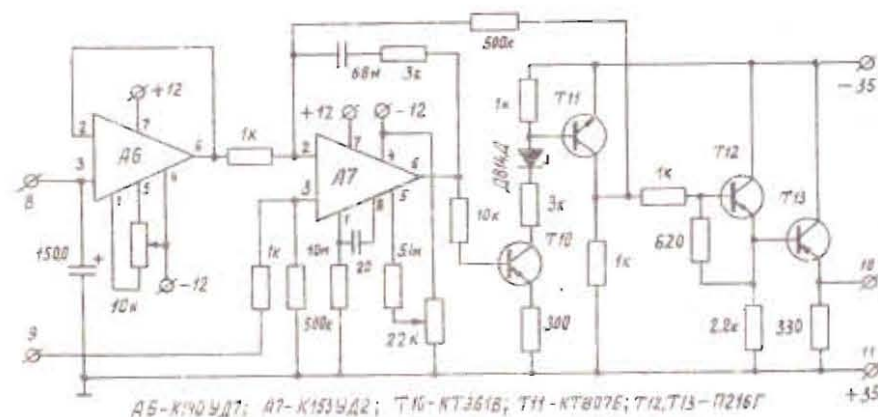


Рис.4. Принципиальная схема усилителя напряжения и схемы сравнения стабилизатора постоянного тока.

пропорциональное стабилизируемому току. Выход схемы сравнения подключен к усилителю напряжения, выполненному на транзисторах Т10 и Т11. Общий коэффициент усиления СС и УН,  $K_{\text{УН}} = 500$ . Усиленная разность опорного и измеряемого сигналов подается на составной эмиттерный повторитель на транзисторах Т12 и Т13. С зажимов 10 и 11 напряжение используется для управления транзисторным регулятором.

## КОНСТРУКЦИЯ

Стабилизатор постоянного тока выполнен в виде двух отдельных стоек: стойки силовоточного выпрямителя /В/ и стойки стабилизатора тока. В последней установлен транзисторный регулятор /ТР/, охлаждаемый водой /6 блочных каркасов размером 120x320x520/, блок стабилизации /каркас размером 120x320x520/ и блоки, обслуживающие ИППТ /каркас размером 160x320x520/. Магнитный модулятор ИППТ расположен в коаксиальном токовводе, смонтированном на задней стенке стойки стабилизатора постоянного тока в месте подсоединения силового шинпровода к транзисторному регулятору. Коаксиальный токоввод закрыт многослойным магнитным экраном с коэффициентом экранирования  $\sim 450-500$ . Магнитные сердечники изготовлены из ленточного пермаллоя 79НМ толщиной 0,05 мм. Наружный диаметр сердечников 50 мм, внутренний 40 мм, высота 5 мм. Число витков:  $W_1 = W_2 = 500$  ПЭВ-2,  $\phi 0,18$ ,  $W_3 = W_4 = 500$  витков ПЭВ-2  $\phi 0,43$ ,  $W_5 = 2000$  витков ПЭВ-2  $\phi 0,40$ . Между обмотками  $W_{1,2}$  и  $W_{3,4}$  установлены экраны из медной фольги толщиной 0,1 мм.

Контроль выходного тока стабилизатора производится путем измерения выходного напряжения с эталонного резистора  $R_{\text{ЭТ}}$  ИППТ по внешнему цифровому вольтметру.

## ЗАКЛЮЧЕНИЕ

Рассмотренный выше транзисторный компенсационный стабилизатор постоянного тока многократно использовался в сеансах работы электронной модели изохронного циклотрона и показал надежность и удобство в эксплуатации. Этому способствовало использование разработанного бесконтактного измерительного преобразователя постоянного тока. Получены следующие основные характеристики:

- диапазон рабочих токов  $50 \div 600$  А, в этом диапазоне управление автоматическое от ЭВМ "Электроника-60";
- долговременная стабильность тока лучше 0,01% за 8 ч работы.

Автор, пользуясь возможностью, выражает благодарность В.В.Калиниченко за постоянное внимание, полезные обсуждения и помощь в работе.

## ЛИТЕРАТУРА

1. Саванеев В.П., Шпади А.Л. Авторское свидетельство № 748380 от 23.05.78. МКИ G 05 F 1/56. Бюллетень ОИПОТЗ № 26, 1980, с. 721.
2. Калиниченко В.В., Саванеев В.П. ОИЯИ, 13-84-222, Дубна, 1984.
3. Богомолова Л.К. и др. ОИЯИ, Р9-7339, Дубна, 1973.
4. Баклаков Б.А. и др. Прецизионный широкополосный измеритель постоянного тока до 10 кА. ПТЭ, № 6, 1981.
5. Титце У., Шенк К. Полупроводниковая схемотехника. М., "Мир", 1982.

Рукопись поступила в издательский отдел  
25 ноября 1985 года.